

ارزیابی منحنی‌های مشخصه توربین فرا صوت در پذیرش جزئی در آزمایشگاه توربین گاز*

رضا آقائی طوق^(۱)

ابوالقاسم مسگرپور طوسی^(۲)

چکیده در این مقاله، ابتدا دلایل استفاده از فن پذیرش جزئی در توربین‌های فراصوت تشریح شده است. سپس، خلاصه‌ای از فرآیند طراحی آزمایشگاه توربین‌های فراصوت به منظور تولید منحنی مشخصه توربین، ارائه شده است. محاسبات مربوط به روش همسانی گاز دینامیکی، تشریح شده و استانداردهای مربوط به نحوه نصب و بهره‌برداری از سامانه‌های اندازه‌گیری در آزمایشگاه معرفی شده‌اند. منحنی مشخصه‌های بدست آمده در این آزمایشگاه با نتایج کد پیش‌بینی عملکرد توربین و نتایج کار دیگران مقایسه شده است. با توجه به صحه‌گذاری کد پیش‌بینی عملکرد با نتایج آزمایش توربین در شرایط واقعی، نتایج حاصل از آزمایش توربین در شرایط همسانی نتایج قابل قبولی هستند. همچنین، راندمان توربین در شرایط پذیرش جزئی دست کم ۲۰ واحد کمتر از شرایط پذیرش کامل است.

واژه‌های کلیدی توربین فراصوت؛ منحنی مشخصه توربین؛ پذیرش جزئی؛ آزمایشگاه توربین؛ همسانی گاز دینامیکی.

Experimental Evaluation of Supersonic Turbine Characteristic Curve at Full and Partial Admission in Turbine Test Rig

R. Aghaei tog A.M. Tousi

Abstract In this paper, the major reasons for using of partial-admission technique in supersonic turbines are described. Then, a summary of the design process of supersonic turbine test rig is presented. This test rig is used to produce the turbine characteristic curves. Gasdynamic similarity calculations are described and the standards for how to install and use the measurement systems in the turbine test rig have been introduced. The turbine characteristic curves obtained in this work have been compared with the results of the turbine performance prediction code and the other works. Considering the validated performance code, the results of the test rig are acceptable. Also, the model turbine efficiency at partial-admission condition is 20 units less than full-admission condition.

Key Words Supersonic Turbine; Turbine Characteristic Map; Full Admission; Partial Admission; Turbine Test Rig; Gas-Dynamic Similarity

*تاریخ دریافت مقاله ۹۳/۱۲/۱۵ و تاریخ پذیرش آن ۹۴/۱۰/۲۱ می‌باشد.

(۱) نویسنده مسئول: استادیار، دانشکده مهندسی مکانیک و هوافضا، دانشگاه آزاد اسلامی واحد علوم و تحقیقات تهران.

reza_tog@srbiau.ac.ir

(۲) استاد، قطب علمی مهندسی هوافضای محاسباتی، دانشگاه صنعتی امیرکبیر.

مقدمه

یک مدل اتلافی دقیق، رابطه‌ای توسعه یابد که بتواند تأثیر درجه پذیرش جزئی در راندمان را نیز محاسبه کند.

در بخش بعدی، بخشی از کارهای انجام شده در زمینه مدل‌سازی و تأثیر استفاده از پذیرش جزئی بر عملکرد توربین تشریح شده است.

پیشینه تحقیق

در طول سالیان گذشته، مدل‌های مختلفی برای برآورد عملکرد توربین در پذیرش جزئی ارائه شده است که هر کدام از نقاط قوت و ضعفی برخوردار بوده‌اند. مبنای تعدادی از این مطالعات، مدل ارائه شده توسط اینلی-ماتیسون [1] برای توربین‌های بزرگ (ضریب منظری پره برابر با 3° بوده است).

استینینگ [2] رابطه‌ای را براساس هندسه پذیرش جزئی ارائه کرد، که کاهش قابل توجه سرعت نسبی خروجی روتور را نشان می‌داد. وی این کاهش سرعت را به اتلاف‌ها پذیرش جزئی نسبت داد. سوتر و تراپل [3] اتلاف انتهایی ناحیه پذیرش جزئی را به درصد بخش فعال روتور نسبت دادند که در تزریق سیال از استاتور تحت تأثیر قرار می‌گیرد.

دستورالعمل NASA SP-290 [4] اتلاف پمپ سیال باکینگهام [5] را با اتلاف انتهایی بخش فعال استینینگ ترکیب کرد. نتایج این کار به نتایج تجربی، به‌ویژه در نزدیکی نسبت سرعت طراحی نزدیک‌تر بود. بیشترین اختلاف به نتایج کار استینینگ [2] برای اتلاف پمپ سیال مربوط می‌شود. این اختلاف برای کار سوتر-تراپل [3] نسبت به کار استینینگ کمتر است، اما همچنان از نتایج تجربی فاصله دارد.

دویل [6] روش بهبودیافن‌های براساس روش سوتر-تراپل و استینینگ توسعه داد. در این روش، اختلاف راندمان با نتایج تجربی کاهش یافت. اولسون [7]، نشان داد که اتلاف‌ها در خروجی کانال بلوكه شده

توربین‌های فراصوت در سامانه‌های تغذیه‌ای توربوبیمپی و موتورهای سوخت مایع سیکل باز استفاده می‌شوند. ویژگی این توربین‌ها، تولید کار ویژه بالا در دبی‌های جرمی کم گاز ورودی به توربین است. تحقق این هدف (کار ویژه بالا)، با ایجاد جریان فراصوت و افزایش نسبت انبساط توربین حاصل می‌شود. برای جلوگیری از افزایش اتلاف‌ها نعل اسیبی و جریان ثانویه در اثر نسبت منظری کوچک پره‌ها، از پذیرش جزئی در این توربین‌ها استفاده می‌شود. توزیع جزئی جریان، خود موجب بروز نوعی از اتلاف‌ها خواهد شد که با عنوان کلی اتلاف‌ها پذیرش جزئی شناخته شده است. درنتیجه، در طراحی‌ها باید چگونگی استفاده از توزیع جزئی جریان و درصد اتلاف‌ها ناشی از آن، بالاستفاده از تحلیل‌های سه‌بعدی و آزمایش‌های تجربی با دقت کامل ارزیابی شود. برای نیل به این هدف، لازم است منحنی مشخصه (عملکرد) توربین در شرایط پذیرش کامل و جزئی تولید گردد. این منحنی نماینده رفتار توربین در نقاط مختلف کاری است و به شکل نمودارهایی از پارامترهای عملکردی توربین، مانند راندمان (η_T)، حسب نسبت سرعت آیزنتروپیک (u/C_{is}) یا نسبت فشار (π_T ، یا نمودارهایی از مشتقات و ترکیبات این پارامترها، مثل نمودار نسبت فشار سکون و توان توربین (P_T) ارائه می‌شود.

برای تولید منحنی مشخصه توربین، باید مجموعه‌ای از آزمایش‌های تجربی در آزمایشگاه ویژه انجام شود، تا میزان اتلاف‌ها در هر دو حالت و تأثیر آنها بر راندمان توربین ارزیابی شود. در این آزمایشگاه، داده‌های عملکردی توربین، مانند راندمان، دبی جرمی و مشخصات ترمودینامیکی جریان در نقاط مختلف اندازه‌گیری می‌شود.

برای محاسبه دقیق راندمان توربین در آزمایشگاه، باید رابطه راندمان مناسبی انتخاب شود، یا بالاستفاده از

ترکیبی از روش‌های سوتر- تراپل [3] و استنینگ [2] را به کار بست. او سعی کرد تأثیرات اندازه پره‌ها و دیسک توربین را در مدل خود بیاورد. برای تحقیق این موضوع، در مدل کردن اتلاف‌های اصطکاکی، ضرایبی براساس هندسه روتور ارائه کرد.

بون و همکاران [12] تغییرات راندمان براساس سطح مقطع عرضی کانال و دبی جرمی را تشریح کردند. در آزمایش‌های آنها معلوم شد که راندمان توربین در پذیرش کلی به‌شکل مقطع عرضی کانال وابستگی زیادی دارد؛ اما، در پذیرش جزئی، وابستگی راندمان به دبی جرمی بیش از شکل سطح مقطع می‌باشد.

چوبی و همکاران [13] مدلی برای پیش‌بینی عملکرد یک توربین محوری کوچک (ضریبه‌ای) با پذیرش جزئی ارائه دادند. در این کار تأکید شده است، زمانی که یک توربین در درصد پذیرش جزئی کم کار می‌کند، نازل با مقطع دایره‌ای عملکرد بهینه‌تری دارد و راندمان آن بسیار بیشتر از نازل‌هایی با مقاطع هندسی دیگر است.

آقامی و طوسی [14]، پارامترهای مؤثر بر توزیع جریان در فضای محوری یک توربین فراصوت را که در شرایط پذیرش جزئی کار می‌کند، بررسی کردند. در این کار یک رابطه کلی برای راندمان توربین ارائه شده است که در برآوردهای اتلاف‌های توربین درجه پذیرش جزئی را لاحظ می‌کند.

جئونگ و همکاران [15,16] منحنی مشخصه توربین را در قالب راندمان توربین بر حسب نسبت فشارهای مختلف در سرعت دورانی ثابت تحلیل کردند. نتایج آزمایش‌های آنان نشان داد، بیشترین راندمان در انساط کامل جریان نازل می‌باشد. با توجه به کارهای مختلف انجام شده، مشاهده می‌شود که تأثیر استفاده از پذیرش جزئی بر عملکرد توربین فراصوت بسیار قابل توجه است. بنابراین، نمی‌توان بدون ارزیابی‌های دقیق و درست، صرف

(تحت پذیرش جزئی) خیلی کوچک‌تر از اتلاف‌ها در سمت ورودی است. وی نشان داد، استفاده از یک بلوك برای جریان ورودی دارای اتلاف‌های کمتری خواهد بود. او در کار خود از اتلاف‌های نشتی صرف‌نظر کرد؛ در صورتی که در پذیرش جزئی، بدلیل توزیع اختلاف فشار جانبی و شعاعی شدید، این اتلاف‌ها دارای سهم زیادی در مجموع اتلاف‌ها می‌باشد.

بالرغم و بینسلی [8]، برای برآورد عملکرد توربین در پذیرش جزئی، اتلاف‌های ناشی از پذیرش جزئی را به سه گروه اتلاف پرشدن و خالی شدن بخش فعال، اتلاف مربوط به جاروب بخش فعال توسط جریان ورودی، و اتلاف عمل پمپ سیال توسط پره تقسیم‌بندی کردند.

بررسی تجربی یک توربین تک مرحله‌ای توسط کلاسن [9]، برای برآورد تأثیر درجه پذیرش‌های مختلف بر عملکرد توربین نشان داد که با کاهش درصد پذیرش جزئی، راندمان پایین می‌آید. کلاسن فرض کرد اتلاف پمپ سیال و اتلاف انتهایی متناسب با درصدی از کمان غیرفعال است و تمامی اتلاف‌های دیگر ثابت هستند.

یحیی و دویل [10] اتلاف‌های موجود در عملکرد یک توربین در شرایط پذیرش جزئی را به چهار دسته (الف) عمل پمپ سیال توسط روتور (ب) اختلاط گاز در دو ناحیه (ج) نشتی سیال از بخش فعال به غیرفعال و (د) انساط ناگهانی گاز فعال به گذرگاه پره (در ورود و خروج پره به ناحیه پذیرش جزئی) تقسیم کردند و برای به دست آوردن راندمان روابطی پیشنهاد کردند. آنها تأکید کردند که روابط استنینگ [2] و سوتر- تراپل [3] مقادیر اتلاف را کمتر از مقدار واقعی در آزمایش‌ها و نتایج روابط ارائه شده توسط آنان نشان می‌دهند.

ورنیو [11] روشی را برای پیش‌بینی عملکرد یک توربین کوچک فراصوت توسعه داد. وی در مدل خود،

است. کاهش فرکанс دوران، ضربه اطمینان بسته آزمایشی را افزایش می‌دهد و موجب ساده شدن اندازه‌گیری‌ها می‌شود. دبی جرمی سیال کاری نیز با کاهش فشار کم می‌شود.

برای حفظ شرایط همسانی، دمای اولیه به گونه‌ای انتخاب می‌شود که با انبساط گاز در کل فرآیند، رطوبت موجود در هوا یخ نزند، یا قطرات آب ظاهر نشود.

روش همسانی براساس روش تحلیل فرآیند (Generalized Analysis) بنا شده است و از ابزارهای تجربی مؤثر در تحقیقات امروزی است [19]. ویژگی اصلی این شیوه تحقیق، این است که هر پدیده آن نمادی از مجموعه پدیده‌های مشابه است و در ساختار منطقی آن، تحقیق و بررسی یک پدیده خاص در واقع شناخت خصوصیات کل انواع پدیده‌های مشابه است [19].

در این کار، براساس روش تشابه گازدینامیکی، آزمایشگاه توربین محوری فراصوت طراحی و ساخته شده است. در نصب، بهره‌برداری، نگهداری و اندازه‌گیری‌ها از استانداردهای مربوط [20-25] استفاده شده است.

مدار سکوی باز [26] برای این آزمایشگاه انتخاب شده است که در آن، سیال کاری (هوای پس از به‌گردش در آوردن توربین، به محیط تخلیه می‌شود).

شرایط همسانی و محاسبات مربوط

پارامترهای اصلی انتخابی برای همسانی در این کار، عبارتند از: دما و فشار ورودی، فشار خروجی، سرعت دورانی، دبی جرمی و توان توربین. براساس استاندارد مرجع [21]، لازم است آزمایش در بازه‌ای انجام شود که حدود کرانی از شرایط طراحی و مجاز دور نگردد. صرف نظر از تلفات حرارتی، شرایط لازم برای تشابه جریان در توربین‌های مدل و واقعی به قرار زیر است:

انجام محاسبات اولیه طراحی، مجوز استفاده از این فن را در طراحی توربین موتورهای سیکل- باز صادر کرد، یا مانع از استفاده از آن شد. از این‌رو، لازم است تا با انجام آزمایش‌های تجربی در آزمایشگاه ویژه، منحنی‌های مشخصه توربین را در شرایط مختلف کاری بررسی کرد و در مورد استفاده از پذیرش جزئی قضاوت کرد.

در این کار، با شرح مختصری از فرآیند طراحی آزمایشگاه توربین فراصوت و چگونگی اندازه‌گیری داده‌های تجربی لازم، منحنی‌های مشخصه به دست آمده از آزمایش‌های تجربی برای یک نمونه توربین در پذیرش جزئی و کلی مقایسه شده و چگونگی استفاده از پذیرش جزئی در این توربین تشریح شده است. ارائه فرآیندی نسبتاً کامل در طراحی آزمایشگاه توربین فراصوت با استفاده از روش تشابه گازدینامیکی و نمایش نمونه‌هایی از منحنی مشخصه‌های تولیدشده در این آزمایشگاه، که به‌طور وسیعی در نقاط مختلف و متعدد کاری، با نتایج کارهای دیگران مقایسه و ارزیابی شده‌اند، از نوآوری‌های ارائه شده در این کار پژوهشی است.

آزمایشگاه توربین فراصوت

هزینه انجام آزمایش‌ها در شرایط واقعی عملکردی، یا در آزمایش موتور بسیار بالا است. با وجود سطوح فشار و دمای بالا در این توربین‌ها نمی‌توان در بازه‌های زمانی مختلف آزمایش‌های لازم را انجام داد [17,18]. بنابراین، بایستی از روش‌های دیگری استفاده کرد. یکی از بهترین روش‌ها، روش همسانی گازدینامیکی است. در این روش، با تغییر شرایط واقعی و حفظ پارامترهای عملکردی توربین، کاهش قابل ملاحظه‌ای در هزینه‌ها صورت می‌گیرد. به‌طور مثال، کاهش توان، فرکانس دوران، دما و فشار، ساده کردن طرح سکو [?] و ارزان‌تر کردن آزمایش‌ها و از این قبیل از نتایج کار

در این روابط، C سرعت مطلق، a سرعت صوت و T دمای استاتیک سیال است. زیرنویس‌های m و R به ترتیب معرف شرایط مدل و واقعی هستند.
از برابری اعداد رینولدز، رابطه (۴) نوشته شد:

$$\frac{Re_m}{Re_R} = \frac{(Cl\rho/\mu)_m}{(Cl\rho/\mu)_R} = 1,0 \quad (4)$$

حال، براساس روابط (۱) و (۴) می‌توان نوشت:

$$\frac{\rho_m}{\rho_R} = \frac{C}{C_m} \frac{l_R}{l_m} \frac{\mu_m}{\mu_R} = \quad (5)$$

$$\Psi_G \frac{\mu_m}{\mu_R} \left(\frac{k_m}{k_R} \right)^{-0,5} \left(\frac{R_m}{R_R} \right)^{-0,5} \left(\frac{T_m}{T_R} \right)^{-0,5}$$

$$P_m = \frac{\rho_m}{\rho_R} \frac{R_m}{R_R} \frac{T_m}{T_R} = \quad (6)$$

$$\Psi_G \frac{\mu_m}{\mu_R} \left(\frac{k_m}{k_R} \right)^{-0,5} \left(\frac{R_m}{R_R} \right)^{0,5} \left(\frac{T_m}{T_R} \right)^{0,5}$$

محاسبه نسبت فشار مدل با رابطه (۷) انجام شد:

$$\left(\frac{P_{01}}{P_{s2}} \right)_m = \Psi_G \left\{ 1 + \frac{(k-1)_m}{(k-1)_R} \left[\left(\frac{P_{01}}{P_{s2}} \right)_R^{(k-1)/k} - 1 \right] \right\}^{(k-1)/k} \quad (7)$$

P چگالی، μ لزجت دینامیکی و P فشار استاتیکی است.

لازم به گفتن است، با توجه به انتخاب مدار باز برای آزمایشگاه توربین، فشار استاتیک خروجی در شرایط مدل، فشار اتمسفر خواهد بود. در این شرایط، برای رسیدن به شرایط صوتی در گلوگاه‌های نازل‌های همگرا- و اگرای توربین، سطح فشار ورودی بزرگتری لازم نخواهد بود.

۱. تشابه هندسی.

۲. تساوی عدد ماخ سرعت مطلق جریان.

۳. تساوی عدد ماخ سرعت نسبی جریان.

۴. تساوی عدد ماخ سرعت انقلالی جریان u .

۵. تساوی اعداد رینولدز Re .

شرط‌های ۲ تا ۴ از تشابه مثلث سرعت‌ها نتیجه می‌شوند. اگر نسبت سرعت آیرنتروپیک در توربین مدل و واقعی برابر انتخاب شوند و اعداد ماخ مطلق نیز برابر شوند، این شرط محقق خواهد شد [۲۷، ۲۸]. در این مدل‌سازی، هندسه توربین حفظ شده و از تشابه سینماتیکی و گازدینامیکی استفاده شده است. برای تحقق این منظور، سه معیار M_u ، M_C و Re به عنوان معیارهای اصلی لحاظ شده‌اند؛ چرا که این پارامترها در توزیع سرعت، دما و فشار تعیین کننده‌اند. براساس تساوی پارامترهای معیار فوق، روش محاسبه پارامترهای توربین مدل استخراج می‌گردد [۲۹-۲۷]. ضریب تشابه هندسی مطابق رابطه (۱) تعریف می‌گردد:

$$\Psi_G = \frac{l_R}{l_m} \quad (1)$$

l_R بعد دلخواه توربین اصلی و l_m بعد متناظر توربین مدل است. در پژوهش حاضر، $\Psi_G = 1$ می‌باشد.

با تأمین تشابه گازدینامیکی، ماخ جریان در مثلث سرعت‌های توربین در جریان واقعی و آزمایش یکسان خواهد بود. بر این اساس:

$$\frac{C_m}{C_R} = \frac{a_m}{a_R} = \sqrt{\frac{(kRT)_m}{(kRT)_R}} \quad (2)$$

$$\frac{u_m}{u_R} = \frac{a_m}{a_R} = \sqrt{\frac{(kRT)_m}{(kRT)_R}} \quad (3)$$

حفظ ضریب آدیاباتیک جریان متضمن حفظ مقادیر پارامترهای جریان در رژیم آزمایش و شرایط برابری پارامترهایی همچون u/C_{is} و Re است. با تغییر k ، تصویر فیزیکی جریان دگرگون می‌شود.

مدل پایه و کد محاسباتی

مدل پایه‌ای انتخاب شد که محاسبات همسانی بر مبنای داده‌های طراحی آن انجام شود. این مدل، یک توربین فراصوت ضربه‌ای تک مرحله‌ای است که در شرایط پذیرش جزئی، نیروی محرکه یک توربوبمپ سوخت و اکسیدکننده را تأمین می‌کند [۱۴]. شکل (۱) استاتور و نازل‌های این توربین را نشان می‌دهد. این نازل‌های هم‌گرا-واگرا، جریان پرفشار ورودی را به جریان فراصوت تبدیل می‌کنند. افت شدید دما در این فرآیند، در طراحی آزمایشگاه لحاظ شده است.



شکل ۱ استاتور و نازل‌های توربین فراصوت ضربه‌ای مدل پایه

طراحی این مدل با استفاده از کد طراحی توسعه یافته توسط نویسنده‌گان مقاله صورت گرفته است [۳۰]. ورودی‌های کد طراحی توربین، مشخصات ترمودینامیکی مانند فشار و دمای سکون در ورود، نسبت فشار، دبی جرمی، مشخصات ترموفیزیکی سیال، توان مورد نظر و قیود یا ابعاد هندسی مانند نسبت قطر دیسک توربین به قطر پمپ سوخت یا قطر میانگین

براساس روابط (۱-۴)، ارتباط دور، دبی و توان چنین است:

$$\frac{n_m}{n_R} = \Psi_G \left(\frac{k_m}{k_R} \right)^{0.5} \left(\frac{R_m}{R_R} \right)^{0.5} \left(\frac{T_m}{T_R} \right)^{0.5} \quad (8)$$

با جای‌گذاری مقادیر سکون دما و نسبت فشارها در رابطه (۸) :

$$\frac{n_m}{n_R} = \Psi_G \left(\frac{k}{k-1} \right)_m^{0.5} \left(\frac{k-1}{k} \right)_R^{0.5} \left(\frac{R_m}{R_R} \right)^{0.5} \left(\frac{(T_{01})_m}{(T_{01})_R} \right)^{0.5} \left(\frac{1 - (p_{s2}/P_{01})_m^{(k-1/k)m}}{1 - (p_{s2}/P_{01})_R^{(k-1/k)R}} \right)^{0.5} \quad (9)$$

دبی جرمی و توان توربین:

$$\frac{\dot{m}_{Tm}}{\dot{m}_{TR}} = \frac{C_m}{C_R} \frac{F_m}{F_R} \frac{\rho_m}{\rho_R} = \frac{1}{\Psi_G} \left(\frac{\mu_m}{\mu_R} \right) \quad (10)$$

$$\frac{(N_T)_m}{(N_T)_R} = \frac{1}{\Psi_G} \frac{\mu_m}{\mu_R} \frac{k_m}{k_R} \frac{R_m}{R_R} \frac{T_m}{T_R} \quad (11)$$

اگر شرایط آزمایش به گونه‌ای باشد که برابر رینولدز واقعی و مدل میسر نباشد، ضریب χ به صورت رابطه (۱۲) تعریف می‌گردد:

$$\frac{Re_m}{Re_R} = \chi, \chi \neq 1 \quad (12)$$

رابطه قبلی با لحاظ χ شکل جدیدی می‌یابند. به عنوان مثال، روابط دبی و توان به شکل زیر بیان می‌شوند:

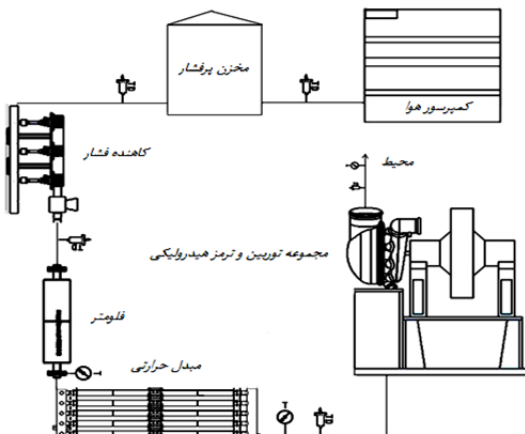
$$\frac{\dot{m}_{Tm}}{\dot{m}_{TR}} = \frac{\chi}{\Psi_G} \left(\frac{\mu_m}{\mu_R} \right) \quad (13)$$

$$\frac{(N_T)_m}{(N_T)_R} = \frac{\chi}{\Psi_G} \frac{\mu_m}{\mu_R} \frac{k_m}{k_R} \frac{R_m}{R_R} \frac{T_m}{T_R} \quad (14)$$

تغییرات مورد نظر در بازه $\pm 20^\circ$ درصد مقدار
همسانشده خواهد بود.

اجزای اصلی مدار باز آزمایش توربین فراصوت

شکل (۲) چیدمان اجزای آزمایشگاه را نشان می‌دهد. کمپرسورها مخازن پرفشار را تغذیه می‌کنند. هوا متناسب با آزمایش در مبدل حرارتی با توان بیشینه ۱ MW می‌شود. هوای گرم شده وارد توربین می‌گردد و پس از چرخاندن توربین به اتمسفر تخلیه می‌شود. یک دینامومتر جریان گردابی توان تولیدی را جذب می‌کند. هسته دینامومتر با آب و بلیبرینگ روتور با روغن خنک کاری می‌شوند. قبل و بعد از هر کدام از اجزای اصلی، اندازه‌گیری دما و فشار مطابق با استانداردها [۲۰-۲۴] اندازه‌گیری می‌شود. دبی در بالادست مبدل اندازه‌گیری می‌شود.



شکل ۲ چیدمان زیرسازمانهای اصلی آزمایشگاه توربین [۳۱]

منحنی‌ها و پارامترهای زیر در آزمایشگاه قابل حصول است:

۱. منحنی مشخصه توان- سرعت ($N_T - \omega$) در فشار ورودی ثابت ($P_{01} = \text{cte}$).
۲. منحنی مشخصه توان- نسبت فشار ($N_T - \pi_T$) در دور ثابت ($\omega = \text{cte}$).
۳. دبی گاز عبوری از توربین.

دیسک توربین می‌باشد.

زیروالی از این کد به محاسبات همسانی اختصاص دارد که پس از تولید نتایج طراحی و نهایی شدن آن، بر مبنای روابط (۱۴-۱)، مقادیر همسانشده در آزمایش‌ها را ارائه می‌دهد. مشخصات عملکردی همسانشده برای آزمایش و ابعاد هندسی این توربین به ترتیب در جداول (۱) و (۲) ارائه شده است.

جدول ۱ مشخصات عملکردی توربین در رژیم همسانی

پارامتر	نماد	مقدار	واحد
فشار سکون ورودی	P_{01}	$7/5 \times 10^5$	Pa
فشار استاتیک خروجی	p_{s2}	$1/0 \times 10^5$	Pa
دمای سکون ورودی	T_{01}	۴۵۰	K
دبی جرمی	m_T	۰/۵۰	kg/s
راندمان کل به استاتیک	η_T	۰/۴۸	-
سرعت روتور	Ω	۱۰۰	rad/s

جدول ۲ مشخصات هندسی توربین

پارامتر	نماد	مقدار	واحد
قطر میانگین روتور	D_m	۲۱۰	mm
ضریب جریان	φ	۰/۹۵	-
تعداد پره‌ها	Z_b	۷۰	عدد
تعداد پره‌های بخش فعال	Z_{ba}	۱۹	عدد
نسبت منظری پره	h_b/b_b	۲	-
زاویه نصب نازل	α_N	۱۹	deg

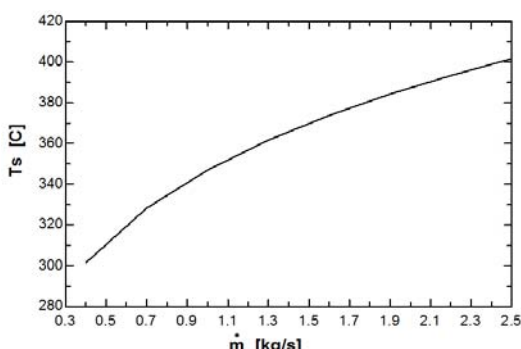
آزمایش‌های منحنی مشخصه توربین

در این آزمایشگاه، دست‌یابی به منحنی مشخصه به دو روش فراهم شده است. روش اول، روش مربوط به تغییر سرعت آیزنتروپیک (C_{is}) می‌باشد که با تغییر فشار ورودی در سرعت ثابت حاصل می‌شود. در روش دوم، با تثبیت فشار ورودی و تغییر دور دینامومتر می‌توان مقدار سرعت دورانی یا فرکانس چرخش و به دنبال آن، سرعت خطی را تغییر داد.

نتایج به دست آمده از آزمایش‌های اولیه و مسائل دیگری مانند تعمیر و نگهداری آنها، از نظر گروه طراح آزمایشگاه (نویسنده‌گان مقاله حاضر و همکاران) نامناسب تشخیص داده شد. به طور مثال، در مورد مبدل دوجداره با سوخت متان که در شکل (۴) نمایی از این آزمایش نشان داده شده است، در صورت افزایش دبی عبوری، دمای جداره بیرونی، با نرخ نشان داده شده در شکل (۵) افزایش می‌یابد و تنش‌های حرارتی بالا می‌رود که مطلوب نیست.



شکل ۴ آزمایش لوله دوجداره با سوخت متان



شکل ۵ توزیع دمای پوسته لوله دوجداره بر حسب دبی
جرمی عبوری

براساس آزمایش‌ها و بررسی‌های مختلف، طرح مبدل حرارتی الکتریکی با عناصر حرارتی ۴ کیلو واتی در ۲۰ سلول مخصوص، که هر سلول توان ۴۸ kW را تأمین می‌کند (شکل ۶)، طراحی شده است. با توجه به داده‌های جدول (۲)، چهار سلول برای تأمین دبی و حرارت مورد نیاز در این پژوهش کافی است.

- ۴. دمای گاز قبل و بعد از توربین.
- ۵. فشار گاز قبل و بعد از توربین و در نقاط مختلف آن.
- ۶. سرعت روتور.
- ۷. ممان پیچشی روتور.
- برخی از اجزای اصلی آزمایشگاه در ادامه معرفی می‌گردد.

مبدل حرارتی

سطح فشار اولیه مخازن بالا (۳۰۰ بار) انتخاب شده است، تا امکان داده برداری از نقاط مختلف کاری ممکن باشد. هوای پرفشار در مسیر انتقال به توربین در دو مرحله کاهش فشار می‌یابد تا امکان تغییر فشار ورودی توربین در بازه مناسب برای تولید منحنی مشخصه فراهم باشد. کاهش شدید فشار در مسیر انتقال و بخش واگرای نازل‌ها، باعث یخ بستن قطرات آب موجود در هوا می‌شود (شکل ۳). با کمک قوانین ترمودینامیک و جداول مربوط و محاسبات گازدینامیکی توربین، کاهش دما در افت فشارها محاسبه شد.



شکل ۳ یخ بستن لوله پس از کاهنده فشار

استفاده از مبدل‌های حرارتی که از سوخت‌های هیدروکربنی استفاده می‌کنند، مانند مولد گاز متان، الکل و هیدروژن، با توجه به راندمان پایین این سامانه‌ها در

جدول ۳ دقیق و مدل تجهیزات اندازه گیری

دقیق	نوع / اندازه گیری	ابزار اندازه گیری
۰٪ در مقیاس کامل	نسبی	گیج فشار
۰٪ در مقیاس کامل	مطلق	گیج فشار
٪۵	آپتی مث - ۷۰۰۰	دبی سنج
±۵ RPM	مغناطیسی	دور سنج
±۰٪	دی بی بی بی - ۵۰۰	گشتاور سنج
٪۱	آرتی دی - پی تی ۱۰۰	حسگر دما



شکل ۶ عناصر ۴ کیلوواتی در هر سلوول

در مسیر ورود به توربین، از چهار حسگر دما و چهار حسگر فشار استفاده شده است [22]. میانگین مقدار اندازه گیری شده توسط چهار حسگر دما و فشار، دقیق بالا و عدم قطعیت قابل قبولی خواهد داشت. به منظور جلوگیری از تخریب توزیع جریان، حسگرها طوری نصب شده‌اند که کمترین اغتشاش در جریان وارد شود. کانال‌های استفاده شده دارای نسبت طول به قطر ثابت و بیشتر از ۲ می‌باشند. لوله‌های هادی فشار سنج‌ها روی دیواره با زاویه نود درجه و هم‌تراز با سطح نصب شده‌اند (شکل ۸).

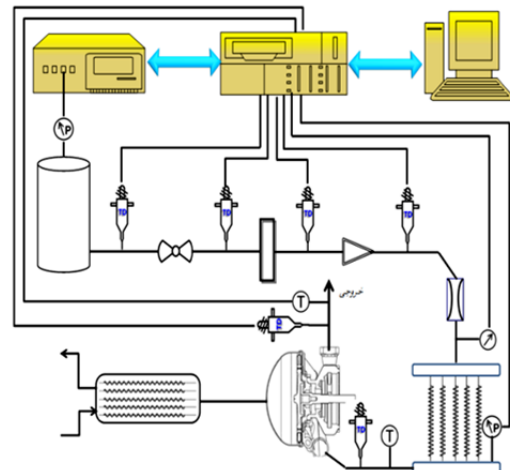


شکل ۸ نحوه نصب حسگرها روی سطح

نوع و مشخصات حسگرهای فشار در جدول (۴) آمده است. کالیبراسیون حسگرهای فشار در هر آزمایش انجام می‌شود.

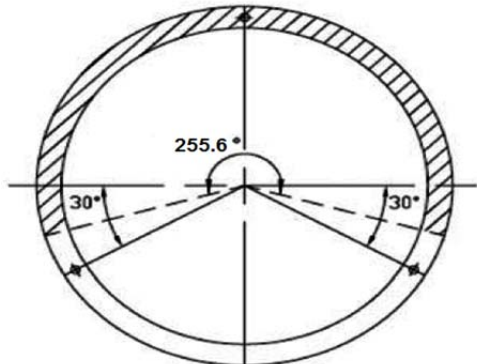
سامانه داده‌برداری و اندازه گیری

با طراحی الگوریتم‌های کارآ، امکان داده‌گیری‌های بزرگ‌تر برای هر نقطه با خطای آماری کم‌تر فراهم شد. شکل (۷) نمای کلی داده‌برداری در این آزمایشگاه را نشان می‌دهد.



شکل ۷ نمای کلی از چگونگی داده‌برداری در آزمایشگاه توربین

در جدول (۳) دقیق تجهیزات اندازه گیری آمده است. دقیق اندازه گیری توان توربین روی دینامومتر $\pm 1\%$ است. سامانه داده‌برداری و کنترل با استفاده از یک الگوریتم پیشرفتی، وظیفه اندازه گیری‌ها و کنترل فرمان‌یارها (سرور گولاتورها)، شیرآلات کنترلی و تنظیم کننده‌ها، مبدل حرارتی و سامانه ایمنی را بر عهده دارد.



شکل ۹ محل نسبی چیدمان حسگرهای دما در پایین دست روتور

جدول ۴ مشخصات حسگرهای فشار

دقت اندازه‌گیری	نوع اندازه‌گیری	تعداد (عدد)	نوع حسگر
۰/۲٪ در مقیاس کامل	نسبی	۴	۴۰۰ بار
۰/۲٪ در مقیاس کامل	نسبی	۲	۲۵۰ بار
۰/۲٪ در مقیاس کامل	نسبی	۲	۱۰۰ بار
۰/۱۵٪ در مقیاس کامل	نسبی	۵	۳۰ بار
۰/۲٪ در مقیاس کامل	نسبی	۳	۱۶ بار
۰/۳٪ در مقیاس کامل	نسبی	۷	۱۰ بار
۰/۲٪ در مقیاس کامل	نسبی	۱۰	۶ بار
۰/۲٪ در مقیاس کامل	نسبی و ترکیبی	۱۰	۳-تا-۱ بار
۰/۰۵٪ در مقیاس کامل	مطلق	۱۰	۲ بار

جدول ۵ مشخصات فنی دبی سنج‌ها

دقت اندازه‌گیری	اندازه‌گیری	تعداد (دستگاه)	نوع
٪/۰/۱	۳ kg/s تا	۲	دبی سنج جرمی
تکرارپذیری <٪/۰/۰۵>			
پایداری صفر: ٪/۰/۱۵ ± مقدار نامی			

طراحی حالت‌های مختلف کنترلی آزمایش‌ها

ایجاد امکان توقف در یک نقطه از منحنی عملکردی توربین و اندازه‌گیری دقیق سایر پارامترهای عملکردی در آن نقطه، حائز اهمیت است. رسیدن به نقطه عملکردی مشخص، مستلزم کنترل دقیق دور و گشتاور موتور می‌باشد و این امر بهوسیلهٔ حالت‌های (مودهای) کنترلی مختلف عملی گردید.

باتوجه به ناپایدار بودن دور توربین، به کمک کنترل گشتاور، امکان ثبیت آن روی یک دور مشخص، فراهم شد. در صورت عبور دور از یک دور خواسته‌شده، گشتاور ترمی افزایش می‌یابد تا دور دوباره به مقدار قبلی برگردد، و بر عکس.

برای این منظور از چهار روش کنترل دور ثابت، کنترل گشتاور ثابت، کنترل گشتاور-دور و دور-گشتاور، استفاده شده است. در روش کنترلی گشتاور-دور، گشتاور بهوسیلهٔ دینامومتر و دور بهوسیلهٔ

روش اندازه‌گیری دما (سکون) مشابه فشار است. موقعیت اندازه‌گیری دما همیشه پایین دست فشار است. اندازه‌گیری دقیق دما در پایین دست روتور برآورد راندمان حرارتی حائز اهمیت است. حسگرهای دما در این ناحیه، مطابق با توصیهٔ وارما و ساندرانایاگام [32] در سه نقطه با زوایای مساوی ۱۲۰ درجه نسبت بهم چیده شده‌اند. فاصله از صفحهٔ خروجی روتور به اندازه ۵ تا ۷ برابر و تر پره روتور مناسب است؛ زیرا در این ناحیه جریان خروجی به طور کامل توسعه یافته است [32]. میانگین عده‌های خوانده شده به عنوان دمای پایین دست روتور محسوب می‌شود. در شکل (۹)، محل نصب حسگرهای دما در خروجی روتور نشان داده شده است. محل هاشور نخورده، ناحیهٔ فعلی پذیرش جزئی است که برای توربین مدل برابر با ۱۰۴/۴ درجه است.

برای اندازه‌گیری دبی جرمی از دبی سنج‌های کوریولیس با مشخصات ارائه شده در جدول (۵) استفاده شده است.

در این روابط، ضرایب $a_{(i)}$ مقادیری ثابت هستند و $(P_{01}/p_{s2}) = \pi_T$ نسبت انبساط توربین می‌باشد.

این روابط برای توربین‌های کوچک روابط مناسبی هستند، اما هیچ نوع وابستگی به درجه پذیرش جزئی ندارند. بنابراین، برای توربین‌های دارای پذیرش جزئی قابل استفاده نیستند.

آقائی طوق و طوسی [37، 36، 37]، رابطه (۱۸) را برای محاسبه راندمان توربین دارای پذیرش جزئی در آزمایشگاه معرفی کرده‌اند.

$$\eta_T = 3.75 \left(\frac{u}{C_{is}} \right) - 20.0 \left(\frac{u}{C_{is}} \right)^2 + 5.0 \left(\frac{u}{C_{is}} \right)^3 + 18.0 \frac{1-\varepsilon}{\varepsilon} \left(\frac{u}{C_{is}} \right)^3 \quad (18)$$

با توجه به نتایج کار آقائی طوق [38]، این رابطه انطباق خوبی با داده‌های تجربی دارد و با لحاظ درجه پذیرش جزئی، نسبت به نتایج مشابه (مانند رابطه چرباکف) دقیق‌تر است.

شرایط انجام آزمایش‌های تجربی

قبل از داده‌برداری اصلی، جریان در مدار وارد می‌شود و به حالت یکنواخت می‌رسد. امکان برقراری آزمایش و انجام اندازه‌گیری فشار و دما به میزان بیش از ۵۰ s فراهم شده است تا نسبت به یکنواخت شدن جریان اطمینان حاصل شود. معیار یکنواختی جریان، پارامترهای داده‌شده در جدول (۷) می‌باشد.

جدول ۷ شرایط یکنواخت بودن جریان در آزمایش [23، 38]

نماد	پارامتر
$\pm 5\%$ میانگین نوسان	راندمان
$\pm 5\%$ از مقدار میانگین نسبت فشار	
$\pm 1\%$ از مقدار میانگین توان	
$\pm 4(^{\circ}\text{C})$ دمای ورودی به توربین	
$\pm 10(\text{RPM})$ سرعت دورانی	

فرمان‌یار کنترل می‌شود. در دو روش کنترلی گشتاور-دور و دور-گشتاور، نمی‌توان با یک وسیله دو پارامتر را ثابت نگه داشت. روش‌های کنترلی دینامومتر در جدول (۶) نشان داده شده است.

جدول ۶ حالت‌های کنترلی دینامومتر

حالت کنترل	
.	فرمان‌یار در حالت بدون بازخورد؛ ثبیت دور توسط دینامومتر
۱	فرمان‌یار در حالت بدون بازخورد؛ ثبیت گشتاور توسط دینامومتر؛ دور موتور بدون کنترل
۲	ثبیت گشتاور به‌وسیله فرمان‌یار؛ ثبیت دور توسط دینامومتر
۳	ثبیت گشتاور توسط دینامومتر؛ ثبیت دور توسط فرمان‌یار

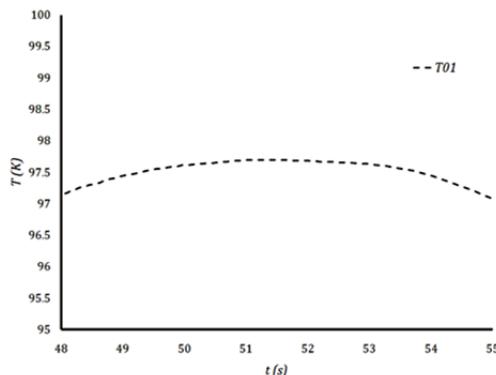
محاسبه راندمان توربین پذیرش جزئی در آزمایشگاه

به طور معمول، رابطه راندمان توربین شکل یک سهمی وارونه را دارد که با یک چندجمله‌ای از درجه دو یا سه برای استفاده در کارهای تجربی در یک سرعت دورانی ثابت بیان می‌شود. به عنوان مثال، جنسن و همکاران [33]، بلیاف و چرباکف [34] و اُرکیس و استوارت [35] مدل‌هایی را برای راندمان توربین در جهت استفاده در آزمایش‌های تجربی ارائه کرده‌اند که به ترتیب می‌توان آنها را به‌شكل روابط (۱۵-۱۷) نشان داد.

$$\eta_T = a_0 + a_1 \omega + (a_2 + a_3) \left(\frac{u}{C_{is}} \right) + (a_4 + a_5 \omega) \left(\frac{u}{C_{is}} \right)^2 \quad (15)$$

$$\eta_T = a_0 + a_1 \left(\frac{u}{C_{is}} \right) + a_2 \left(\frac{u}{C_{is}} \right)^2 \quad (16)$$

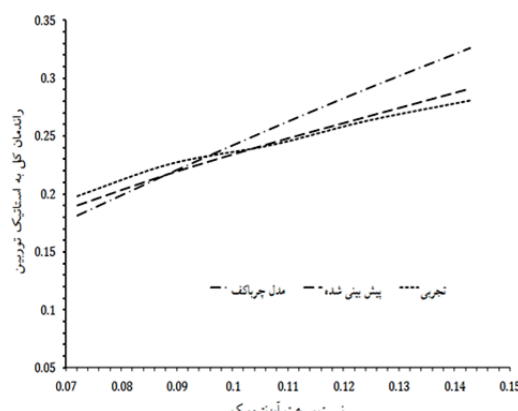
$$\eta_T = a_0 + a_1 \omega + a_2 \omega^2 + a_3 \omega \pi_T + a_4 \pi_T + a_5 \pi_T^2 \quad (17)$$



شکل ۱۱ تغییرات دمای ورودی در زمان دادهبرداری در دور ۵۰۰۰ rpm

صحه‌گذاری و ارزیابی آزمایش‌ها

در شکل (۱۲) مقایسه‌ای از نتایج حاصل از مدل پیش‌بینی عملکرد توربین و آزمایش‌های تجربی برای توربین مدل ارائه شده است. برای مقایسه با نتایج کار دیگران نیز، به عنوان نمونه، نتیجه کار چرباکف به منحنی‌ها اضافه شده است.

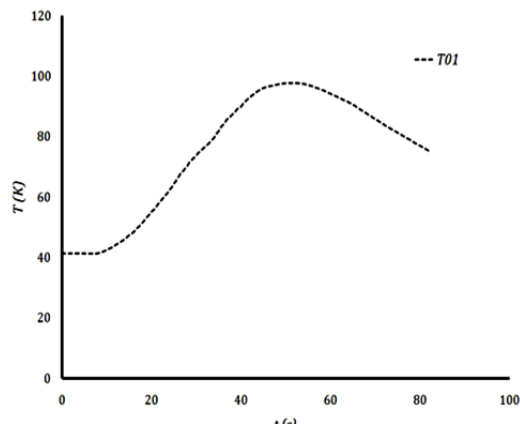


شکل ۱۲ مقایسه نتایج مدل پیش‌بینی عملکرد با نتایج تجربی

در این شکل، انطباق خوبی بین نتایج کد پیش‌بینی و تجربی مشاهده می‌شود. از آنجایی که کد پیش‌بینی قبلًا با نتایج آزمایش‌های عملکردی توربین در شرایط واقعی صحه‌گذاری شده است، می‌توان گفت که نتایج آزمایش‌ها در شرایط همسانی، نتایج قابل قبولی هستند.

در آزمون عملکردی توربین، نباید نوسان‌های توان به وجود آید؛ از این‌رو، دما و فشار ورودی در یک مقدار ثابت در طول آزمون حفظ شده‌اند. تغییرات پارامترهای اندازه‌گیری شده در زمان آزمایش در محاسبات عدم قطعیت لحاظ شده است. در شکل (۱۰) نمودار تغییرات دما در زمان آزمایش نشان داده شده است. زمان آزمایش ۸۲ ثانیه بوده است. داده‌های اصلی عملکرد توربین در بازه‌ای از آزمایش اندازه‌گیری شده‌اند که دمای جریان، به مدت چند ثانیه ثبات نسبی (جدول ۸) داشته است. این زمان برای تمامی آزمایش‌ها حدود ۲۰ ثانیه است.

زمان نسبتاً پایدار برای داده‌برداری بین ثانیه‌های ۴۰ تا ۶۰ می‌باشد. تغییرات دما در فاصله زمانی ۴۸ تا ۵۴ ثانیه در شکل (۱۱) ارائه شده است. مشاهده می‌شود حداقل در پنج ثانیه، پایداری دمای ورودی کاملاً برقرار است و در بازه بیشتر زمانی نیز، بیشینه اختلاف دما در حدود ${}^{\circ}\text{C}$ درجه سانتی‌گراد است؛ در حالی که جدول (۷) تا اختلاف ۴ درجه را نیز اجازه می‌دهد.



شکل ۱۰ تغییرات دمای ورودی در کل زمان آزمایش در دور ۵۰۰۰ rpm

نسبت سرعت آیزنتروپیک مورد انتظار است [32] و رفتار و جهت کلی نمودارها درست است. با توجه به نتایج به دست آمده می‌توان ادعا کرد که نتایج آزمایشگاه توربین مورد اعتماد و قابل استفاده است.

ارزیابی راندمان توربین در پذیرش جزئی

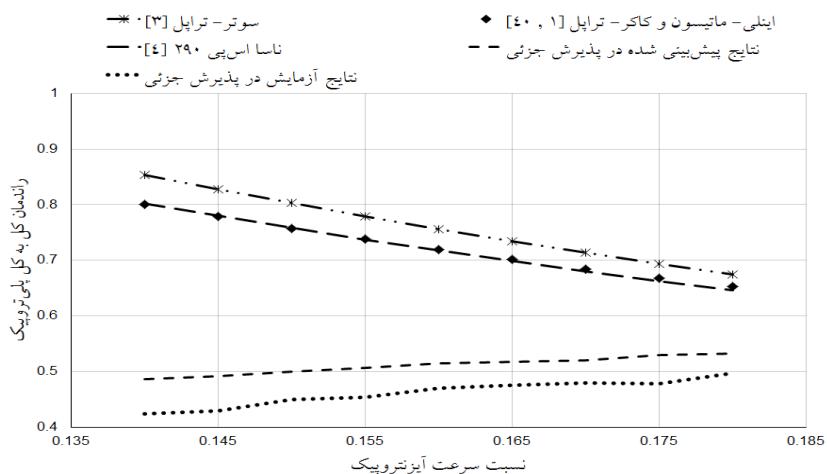
منحنی مشخصه توربین مورد مطالعه با درجه پذیرش درصد تک بلوک، بالاستفاده از مدل اتلافی پیش‌بینی شده و اندازه‌گیری‌های تجربی در شکل (۱۳) ارائه شده است. به این شکل، منحنی‌های به دست آمده از روش‌های اینلی - ماتیسون [۱] سوتر - تراپل [۳]، [۴] نیز اضافه شده است. سوتر و NASA SP-290 تراپل، اتلاف انتهای بخش (end of sector loss) را به محدوده باز روتور نسبت دادند که تحت تأثیر جریان ورودی از استاتور قرار می‌گیرد. تخمین سوتر - تراپل از مقادیر تجربی بیشتر است. نتایج گزارش NASA SP-290 و اینلی - ماتیسون بازیبینی شده در محدوده نسبت سرعت آینتروپیک آزمایش‌های این پژوهش کاملاً یکسان است. با توجه به شکل (۱۳)، در نسبت سرعت بالا، نتایج کار حاضر به نتایج کار دیگران نزدیک‌تر می‌شود.

از دیگر نقاط قابل توجه در این شکل، اختلاف نتایج مدل چرباکف در نسبت سرعت‌های بالا با کار حاضر است. این اختلاف‌ها می‌تواند ناشی از عدم لحاظ تأثیر درجه پذیرش جزئی در کار چرباکف باشد. در جدول (۸)، نتایج کد پیش‌بینی عملکرد و آزمایش‌ها مقایسه شده‌اند.

جدول ۸ مقایسه نتایج کد پیش‌بینی عملکرد و آزمایش‌های تجربی

سرعت دورانی	نسبت سرعت	فشار ورودی	راندمان کل به استاتیک توربین	
دراصد اختلاف	آزمایش تجربی	کد پیش‌بینی	(bar)	-
% -۳/۵	۰/۲۲۶	۰/۲۱۸	۷/۴۱	۰/۰۹
% +۰/۸	۰/۲۴۲	۰/۲۴۴	۷/۴۱	۰/۱۱
% ۱/۱	۰/۲۶۳	۰/۲۶۶	۷/۴۹	۰/۱۲
% ۳/۵	۰/۲۸۱	۰/۲۹۱	۷/۴۸	۰/۱۴

کمینه اختلاف بین داده‌های کد پیش‌بینی و نتایج تجربی 8.0% و بیشینه آن $3/5$ درصد است. با افزایش نسبت سرعت، افزایش اختلاف مشاهده می‌شود. دلیل آن، افزایش اتفاق‌ها مکانیکی و ترمودینامیکی در آزمایش‌های تجربی است که موجب فاصله‌یافتن از نتایج پیش‌بینی شده می‌گردد. افزایش راندمان با افزایش



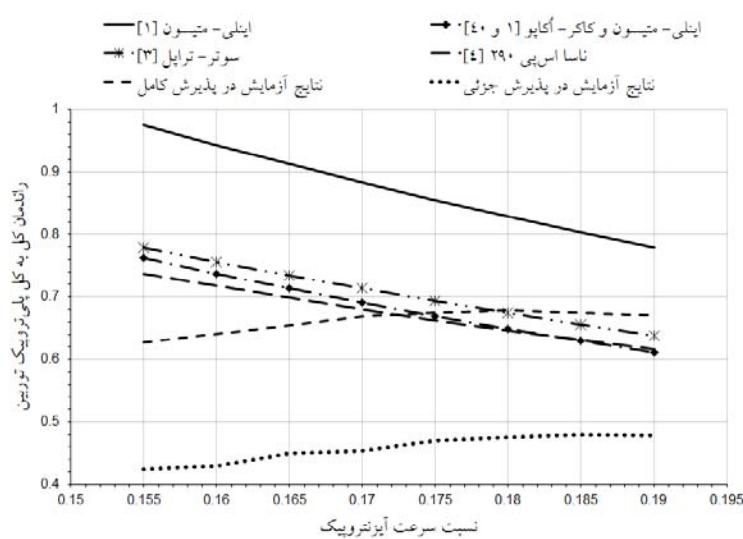
شکل ۱۳ منحنی مشخصه توربین در پذیرش جزئی

نتایج مقایسه منحنی مشخصه توربین در پذیرش کامل و جزئی در شکل (۱۴) نشان داده شده است. تغییرات راندمان پیش‌بینی شده در همان محدوده نسبت سرعت بالاستفاده از روش اینلی-ماتیسون نیز در این شکل ارائه شده است. راندمان به دست آمده از روش اینلی-ماتیسون مقادیر بیشتری نسبت به نتایج کار حاضر در پذیرش کامل نشان می‌دهد. چنانچه در بخش قبلی هم اشاره شد، اصولاً روش اینلی-ماتیسون با پرهایی با نسبت منظری ۳ به دست آمده است و وجود این اختلاف منطقی است؛ زیرا نسبت منظری تأثیر مستقیم و اساسی بر اتلاف‌ها جریان ثانویه دارد. پیش‌بینی‌های اینلی-ماتیسون توسط کاکر و اوکاپو [40] بازیابی شد و تأثیر جریان ثانویه دیده شد. مدل بازیابی شده (روش اینلی-ماتیسون با اتلاف جریان ثانویه) توسط کاکر-اوکاپو نیز در شکل (۱۴) ارائه شده است، که به نتایج کار حاضر نزدیکتر است. با توجه به نتایج ارائه شده در شکل (۱۴) راندمان توربین در پذیرش جزئی بیش از بیست واحد کاهش یافته است.

باید توجه داشت، علت ناهمسو بودن منحنی‌های کار حاضر با کار دیگران، انتخاب یک ناحیه خاص از کل رفتار منحنی مشخصه توربین‌های مورد مطالعه، در یک نسبت سرعت خاص است. به طوری که تفاوت نوع توربین‌ها، از جمله از نظر نسبت منظری پره‌ها و کلاس اندازه توربین‌ها موجب تفاوت در ناحیه‌های بیشینه و کمینه منحنی مشخصه‌ها می‌گردد [17]. دلیل این تفاوت‌ها در تفاوت الگوی جریان و توزیع اتلاف‌ها در توربین‌های بزرگ و کوچک است.

مقایسه راندمان توربین در پذیرش کامل و جزئی

روبرت و همکاران [39] به طور تجربی نشان دادند که با کاهش درجه پذیرش جزئی به کمتر از نصف پذیرش کامل، راندمان و توان تولیدی توربین به شدت افت پیدا می‌کند. استنبینگ [2] با کاهش کمان پذیرش توربین، کاهش راندمان را نشان داد. در کار حاضر با توجه به درجه پذیرش توربین تحت مطالعه (٪۲۹)، انتظار می‌رود راندمان توربین نسبت به شرایط پذیرش کامل افت قابل توجهی داشته باشد.

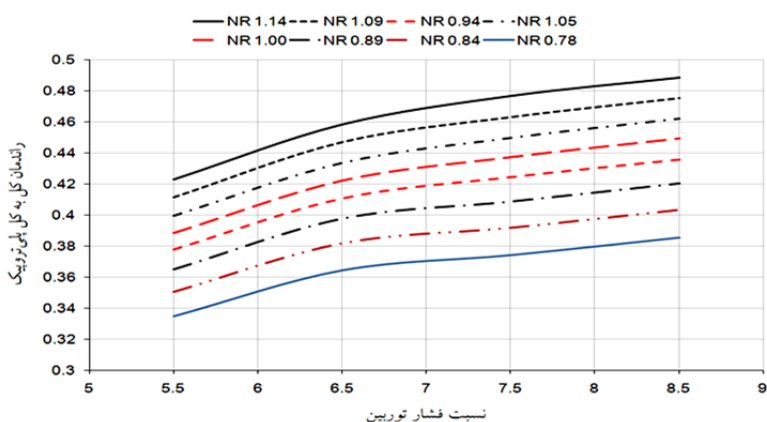


شکل ۱۴ تغییرات راندمان توربین در پذیرش کامل و جزئی

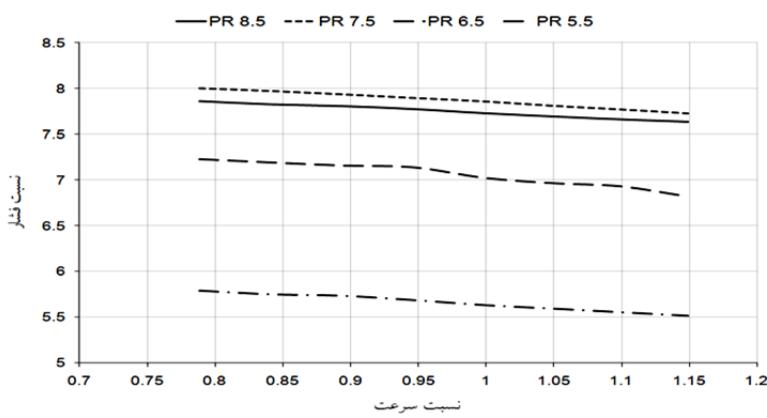
دورانی به بیش از سرعت طراحی می رسد، به دلیل افزایش نسبت سرعت، راندمان توربین افزایش می یابد. یکی دیگر از نمودارهای به دست آمده به عنوان منحنی عملکرد توربین در شرایط مختلف کاری، در شکل (۱۶) ارائه شده است. منحنی های این شکل نشان می دهند که با افزایش سرعت دورانی، نسبت فشار نازل اندکی کاهش یافته است. نکته قابل توجه این است که با افزایش نسبت فشار توربین به بیش از مقدار طراحی کاهش نسبت فشار نازل نشان دهنده انبساط بیشتر جریان و کاهش اتلاف فشار سکون در فاصله محوری خروجی نازل- ورودی روتور است. بنابراین، راندمان توربین به دلیل بهبود شرایط ترمودینامیکی افزایش می یابد.

باتوجه به شکل های (۱۳ و ۱۴) روند تغییرات منحنی ها در نسبت سرعت های بالاتر، با روند تغییرات منحنی های شکل (۱۲) انطباق خوبی دارد. یعنی رابطه ارائه شده برای راندمان در بازه مناسبی از نسبت سرعت، رفتار قابل انتظاری به عنوان منحنی مشخصه توربین نشان می دهد. عدم انطباق ها مربوط به کارهای دیگران است که دلایل توجیهی خود را دارند و در بخش های قبل توضیح داده شد. مانند مدل اینلی- ماتیسون که برای پرهایی با نسبت منظری ۳ ارائه شده است.

شکل (۱۵) تغییرات راندمان بر حسب نسبت فشار توربین در سرعت های دورانی مختلف ($NR = \omega/\omega_D$) را نشان می دهد. براساس این شکل، زمانی که سرعت



شکل ۱۵ تغییرات راندمان توربین در نسبت فشارهای مختلف در سرعت های دورانی مختلف



شکل ۱۶ تغییرات نسبت فشار نازل بر حسب نسبت سرعت در نسبت فشارهای مختلف توربین

باتوجه به مقدار میانگین به دست آمده برای راندمان، قدر مطلق خطای راندمان $87/0\%$ می باشد. مقدار انحراف استاندارد عبارت است از:

$$\sigma_x = \left(\frac{1}{n} \sum_{i=1}^n (X_i - \bar{X})^2 \right)^{1/2}$$

$$\sigma_x = \left(\frac{1}{4} (4e^{-6} + 0 + 0 + 4e^{-6}) \right)^{1/2} = 0.00141$$

با افزایش تعداد آزمایش‌ها، بسیاری از مقادیر در محدوده $\bar{X} \pm \sigma_x$ ، (کران بالا $0/229$ و کران پایین $0/226$) خواهد بود.

عدم قطعیت در اندازه‌گیری‌های راندمان

راندمان توربین برای یک میدان جریان داده شده تابعی از دما و فشار در ورود و خروج به مجموعه توربین است. به عبارتی:

$$\eta_T = \eta(T_{01}, T_{02}, P_{01}, p_{s2}) \quad (19)$$

بالاستفاده از روش مک کلیتوک [41]، معادله عدم قطعیت همساز با تابع فوق به صورت رابطه (۲۰) می باشد.

$$W_\eta = \left\{ \left(\frac{\partial R}{\partial T_{01}} W_1 \right)^2 + \left(\frac{\partial R}{\partial T_{02}} W_2 \right)^2 + \left(\frac{\partial R}{\partial P_{01}} W_3 \right)^2 + \left(\frac{\partial R}{\partial p_{s2}} W_4 \right)^2 \right\}^{1/2} \quad (20)$$

که در این رابطه، T_{01} ، T_{02} ، P_{01} و p_{s2} متغیرهای اندازه‌گیری شده و W_1 تا W_4 عدم قطعیت‌های متناظرنند.

باتوجه به شکل (۱۶)، در نسبت فشار توربین $5/5$ منحنی‌های نسبت فشار توربین و نازل در سرعت‌های دورانی بالا، تقریباً باهم برابر می‌کنند.

تحلیل خطای عدم قطعیت در اندازه‌گیری‌ها

هدف از تحلیل خطای خطای ناشی از دقت وسایل اندازه‌گیری مورد استفاده در آزمایشگاه است که قابل محاسبه می‌باشند. در مورد خطاهای دیگر، تا حد ممکن سعی شده است تا از تأثیر آنها بر نتایج آزمایش، اجتناب شود. در این بخش نمونه‌ای از تحلیل خطای عدم قطعیت‌ها در دور 5000 rpm ارائه شده است.

تحلیل خطای

در دور 5000 rpm ، با فشار سکون ورودی $7/41$ بار، نتایج تکرار آزمایش‌ها به شرح جدول (۹) می‌باشد.

جدول ۹ نتایج تکرارپذیری آزمایش‌های تجربی در دور 5000 rpm
دور بر دقیقه

η_T	p_{s2}	P_{01}	T_{02}	T_{01}	آزمایش
$0/226$	$0/996$	$7/41$	$334/55$	$370/85$	۱
$0/228$	$0/996$	$7/41$	$333/75$	$370/86$	۲
$0/228$	$0/996$	$7/42$	$335/15$	$371/97$	۳
$0/230$	$0/996$	$7/42$	$334/65$	$371/83$	۴

در محاسبه خطای میانگین راندمان به دست آمده از چهار آزمایش حساب می‌شود:

$$\bar{X} = \frac{1}{n} \sum_{i=1}^n X_i$$

$$\bar{\eta}_{ts} = \frac{1}{4} (0.226 + 0.228 + 0.228 + 0.230) = 0.228$$

در این روابط، X_i راندمان در هر آزمایش $i^{\text{ام}}$ و $\bar{\eta}_{ts}$ میانگین راندمان کل به استاتیک توربین است.

- ۵) استفاده از روش همسانی گازدینامیکی در طراحی و ساخت این آزمایشگاه، به لحاظ ساده تر شدن ملاحظات فنی، اجرایی و بهره برداری دارای صرفه اقتصادی است.
- ۶) آزمایش های انجام شده نشان می دهد، راندمان توربین نمونه در پذیرش جزئی، حدود ۲۰ واحد کمتر از شرایط پذیرش کامل است.
- ۷) کمینه اختلاف داده های کد پیش بینی و نتایج تجربی 8000 rpm (دور $3/5$) و بیشینه آن 6000 rpm (دور 8000) درصد است.
- ۸) دلیل افزایش اختلاف نتایج کد عملکرد و تجربی در دورهای بالا، افزایش اتفاق های کوپلینگ دینامیکی و ترمودینامیکی است.
- ۹) تحلیل خطای نتایج آزمایش نشان می دهد، قدر مطلق خطای رای راندمان، 0.087% می باشد.
- ۱۰) محاسبات عدم قطعیت برای داده های آزمایش، بیشینه عدم قطعیت را کمتر از 1.16% نشان می دهد.

تقدیر و تشکر

مؤلفین، مراتب سپاس خود را نسبت به راهنمایی های آقایان دکتر م. برومند، دکتر د. رمش، دکتر م. ج. منتظری، و آقایان مهندسان ح. عبدی، ع. کدخدازاده، م. سalarی، ح. رضایی، ح. حاج لو و اعضای تیم تخصصی ایشان، که ابداعات و اختراعات خود را در اختیار آزمایشگاه قرار دادند تقدیم می دارند.

فهرست علائم

		علائم لاتین
سرعت صوت	m/s	a
مقادیر ثابت در رابطه راندمان	-	$a_{i,(i=0,1,2)}$
عرض پره	m	b_b
سرعت (مطلق) جریان	m/s	C

عدم قطعیت راندمان ناشی از اندازه گیری های دما

عدم قطعیت اندازه گیری W_1 برای دمای ورودی در حدود 0°C می باشد. با این مقدار عدم قطعیت، مقدار بیشینه جمله اول سمت راست رابطه (20) حدود 0.087% می شود. مقدار بیشینه عدم قطعیت متناظر برای دمای خروجی هم به 0.10% می رسد.

عدم قطعیت راندمان ناشی از اندازه گیری های فشار

با درنظر گرفتن دقت حسگرهای فشار و منابع خطای عدم قطعیت ها، و داده های تجربی، برای فشار ورودی با عدم قطعیت $Pa \times 10^5 = 0.07 \times 10^5$ ، مقدار بیشینه 0.12% برای جمله سوم رابطه (20) و با عدم قطعیت $Pa \times 10^5 = 0.025 \times 10^5$ برای فشار خروجی، بیشینه 0.084% برای جمله چهارم رابطه به دست می آید. عدم قطعیت ها برای دما و فشار بدترین حالت ها انتخاب شده است.

عدم قطعیت در راندمان

با توجه به محاسبات، بیشینه عدم قطعیت کمتر از 1.16% است.

نتیجه گیری

- ۱) فن پذیرش جزئی برای جلوگیری از انسداد جریان و افزایش اتفاق ها ناشی از ضربی منظری کوچک پره ها در توربین های سامانه های تغذیه سیکل - باز استفاده می شود.
- ۲) در این شرایط، اتفاق ها ناشی از پذیرش جزئی و تأثیر آن بر عملکرد توربین باید به دقت برآورد شود.
- ۳) هرگونه ارزیابی در این زمینه مستلزم داشتن منحنی مشخصه توربین در شرایط پذیرش جزئی است.
- ۴) این منحنی در آزمایشگاه توربین قابل تولید است.

خروجی از توربین			قطر میانگین دیسک توربین	m	D_m
زمان	s	t	سطح مقطع خروجی نازل	m^2	F
سرعت خطی توربین	m/s	u	ارتفاع پره	m	h_b
مقدار میانگین	-	\bar{X}	ضریب آدیاباتیک گاز،	-	
مقدار عدم قطعیت راندمان	-	W_η	انرژی جنبشی آشفتگی		k
تعداد پرههای روتور توربین	عدد	Z_b	طول معادل در تشابه	m	l
تعداد پرههای روتور توربین	عدد	Z_{ba}	عدد ماخ سرعت مطلق	-	M_C
در بخش فعال			عدد ماخ سرعت نسبی	-	M_w
علامه یونانی			جریان		
زاویه مطلق جریان نازل	deg	α	عدد ماخ سرعت انتقالی یا	-	
ضریب برابری عدد رینولدز	-	χ	محیطی جریان		M_u
ضریب جریان	-	φ	دبی جرمی عبوری از		
راندمان توربین	-	η_T	توربین	kg/s	\dot{m}_T
میانگین راندمان کل به استاتیک	-	$\bar{\eta}_{ts}$	نسبت سرعت به سرعت	-	NR
لرجه دینامیکی	$N.s/m^2$	μ	طراحی		
نسبت انبساط توربین	-	π_T	توان توربین	kW	N_T
چگالی	kg/m^3	ρ	دور توربین، تعداد متغیرها		
مقدار انحراف استاندارد	-	σ_X	در رابطه برآورد خطأ	RPM	n
سرعت دورانی	rad/s	ω	فشار سکون جریان ورودی	Pa	P_{01}
ضریب هندسی تشابه	-	ψ_G	به توربین		
ذینفویس‌ها			فشار استاتیکی	Pa	P
شرایط سکون	0		نسبت فشار طراحی	-	PR_{Design}
ورود توربین	1		فشار استاتیک جریان	Pa	
خروج توربین	2		خرожی از توربین		p_{s2}
میانگین؛ شرایط مدل	m		ثابت گاز	j/kg	R
شرایط واقعی	R		عدد رینولدز	-	Re
استاتیک	s		دمای استاتیک	K	T
کل به استاتیک	ts		دمای سکون جریان ورودی	K	T_{01}
			به توربین		
			دمای سکون جریان	K	T_{02}

مراجع

1. Ainley, D.G. and Mathieson, G.C.R., "An examination of the flow and pressure losses in blade rows of axial-flow turbines", HM Stationery Office, N.G.T.E Report, 33 pages, (1951).
2. Stenning, A.H., "Design of Turbines for High Energy Fuel Low Power Output Applications", MIT Dynamic Analysis and Control Laboratory, (1953).
3. fuer Thermische Turbomaschinen-Mitteilungen, Report. 1959 (4), Suter, P. and Traupel, W., "Investigation on windage loss of turbine rotors", Eidgenoessische Technische Hochschule-Institut fuer Turbomaschinen-Mitteilungen, Zurich, Vol. (4), 39 pages, (1959).
4. Roelke, R.J., "Miscellaneous Losses-Tip Clearance and Disk Friction", in Turbine Design and Applications, 24 pages, (1973).
5. Buckingham, Ed., "Windage Resistance of Steam Turbine Wheels", *Engineer*, pp. 362-364, (1914).
6. Doyle, M., "Theories for Predicting Partial-Admission Losses in Turbines", *Prog. Aerosp. Sci.*, Vol. 29(4), pp. 489-490, (1962).
7. Ohlsson, G.O., "Partial-Admission Turbines", *Journal of the Aerospace Science*, Vol. 29(9), pp. 1017-1028, (1962).
8. Balge, O.E. and Binsley, R.L., "Axial Turbine Performance Evaluation Part A- Loss Geometry Relationships", *J. Eng. Gas Turbines Power*, pp. 341-348, (1968).
9. Klassen, H.A., "Cold-air investigation of effects of partial admission on performance of 3.75-inch mean-diameter single stage axial-flow turbine", NASA Report TND-4700, 23 pages, (1968).
10. Yahya, S.M. and Doyle, M.D.C., "Aerodynamic Losses in Partial Admission Turbines", *Int. J. Mech. Sci.*, Vol. (11), pp. 417-431, (1969).
11. Verneau, A., "Supersonic turbines for organic fluid Rankine cycles from 3 to 1300 kW", Von Karman Inst. For Fluid Dynamics, Small High Pressure Ratio Turbines, Report No., N 88-14364 06-37, 55 pages, (1987).
12. Bohn, D., Gier, J. and Ziemann, M., "Influence of the cross-over channel geometry on the flow equalization in partial-admission turbines", VGB Powertech-English Edition, Vol. 78, pp. 49-54, (1998).
13. Cho, S.Y., Cho, C.H. and Kim, C., "Performance Prediction on a Partially Admitted Small Axial-Type Turbine", *JSME Int J.*, Ser. B, Vol. 49(4): pp. 1290-1297, (2006).
۱۴. آقایی طوق، رضا، مسگرپور طوسی، ابوالقاسم، "بررسی تجربی و عددی آثار پذیرش جزئی بر توزیع جریان در فضای محوری توربین فراصوت"، نشریه علوم کاربردی و محاسباتی در مکانیک، ۲۴، (۲)، ص ۱۶، (۲۰۱۳).
15. Jeong, E., Lee, H.G. and Park, P.G., "Tip Clearance Effect on the Performance of a Shrouded Supersonic Impulse Turbine", *J. Propul. Power*, Vol. 24(6), pp. 1295-1300, (2008).
16. Jeong, E. and Kang, S.H. "Effect of Nozzle-Rotor Clearance on Turbine Performance", in *ASME Joint U.S.-European Fluid Eng. Summer Meeting*, Miami, Fl., Vol. (2), pp. 273-278, November-December, (2006).
17. Avsianikov, B.V., "Theory and calculation of feed systems's elements (In Russian)", pp. 392-487, Machinestroeineh publication, Moscow, (1983).
18. Vasiliev, U.A., "Theory and Design of Gas turbines (In Russian)", pp. 168-221, Machinestroeineh publication, Moscow, , (1982).
19. Khalshevniov, K.V., "Theory and Calculation of Turbomachines (In Russian)", pp. 241-396, Machinestroeineh publication, Moscow, (1979).
20. Taylor, B.N., "Guidelines for Evaluating and Expressing the Uncertainty of NIST Measurement Results", Diane publication, New York, (2009).

21. PTC, A., 22,"Gas Turbine Power Plants", American Society of Mechanical Engineers, New York, New York, (1997).
22. PTC, A., 10, "Performance Test Code on Compressors and Exhausters", American Society of Mechanical Engineers, New York, New York, (1997).
23. ISO 5389, "Turbocompressors Performance Test Code, in Turbocomp", (1992).
24. ISO Standard British, "British Standard Specification for Gas Turbine acceptance tests", (1989).
25. ANSI B36 10/19 nd., Carbon Alloy Pipes ASME Stainless Steel.
26. Bikov, N.N., "An Experimental Stand for Model Gas Turbines Research (In Russian)", Machinestroeineh publication, Moscow, pp. 118-402, (1956).
27. Celicov, V.A., "Gas Turbine Modeling by Heavy Gas (In Russian)", MAI publication, Moscow, (1957).
28. Celicov, V.A., "Physical Modeling of gas-dynamic process in power plants elements (In Russian)", MAI publication, Moscow, (1995).
29. McDaniels, D.M. and Snellgrove, L.M., "Liquid propulsion turbomachinery model testing", in SAE Technical paper, No. 921029, Aerotech'92 Conference, April 1, (1992).
۳۰. آقایی طوف، رضا، مسگرپورطوسی، ابوالقاسم، "طیلهای جریان در یک توربین فراصوت خاص و بررسی تأثیر تغییر هندسی لبه پره‌ها بر عملکرد توربین"، نشریه علوم کاربردی و محاسباتی در مکانیک، ۲۲(۱)، ۲۰۱۱.
31. Aghaei-Togh, R. and Tousi, A.M., "Experimental and numerical investigation of design optimization of a partial admitted supersonic turbine", *Propulsion and Power Research*, Vol. (2), pp. 70-83, (2013).
32. Varma, A.K. and Soundranayagam, S., "Experimental study of a small partial admission axial turbine with low aspect ratio blade", *Proceedings of the Institution of Mechanical Engineers, Part G: Journal of Aerospace Engineering*, Vol. 228(1), pp. 20-34 (2012).
33. Jensen, J., Kristensen, A., Sorenson, S. and Houbak, N., "Mean value modeling of a small turbocharged diesel engine", in SAE Technical Paper 910070, SAE Detroit, Michigan, United States, (1991).
34. Biliayev, E. and Cherbakov, V., "Mathematical modeling of liquid engines", Machinestroeineh publication, Moscow, (1999).
35. Orkisz, M. and Stawarz, S., "Modeling of turbine engine axial-flow compressor and turbine characteristics", *Journal of Propulsion and Power*, Vol. 16(2), pp. 336-339, (2000).
36. Aghaei-Togh, R. and Tousi, A.M., "Flow pattern improvement in nozzle-rotor axial gap in impulse turbine", *Aircraft Engineering and Aerospace Technology*, Vol. 86(2), pp. 108-116, (2014).
37. Aghaei-Togh, R., Tousi, A.M., and Boroomand, M., "Design Optimization of a Partial Admitted Supersonic Turbine Using Genetic Algorithm and 3D Numerical Analysis", in *International Mechanical Engineering Congress & Exposition ASME: Houston, Texas, USA*, pp. 15-26, (2012).
۳۸. آقایی طوف، رضا، مسگرپورطوسی، ابوالقاسم، "بهینه‌سازی پذیرش جزئی توربین فراصوت"، بیستمین کنفرانس مهندسی مکانیک، دانشگاه صنعتی امیرکبیر، تهران، ۱۳۹۱.
39. Kohl, R.C., Howard, Z.H. and Warren, J., "Effects of partial admission on performance of a gas turbine", NACA-TN-1807 Report, NASA Document ID: 19930082483, pp. 79-87, (1949).
40. Kacker, S.C. and Okapuu, U., "Mean line prediction method for axial flow turbine efficiency", *Journal of Engineering for Power*, Vol. 104(1), pp. 104-111, (1982).
41. Kline, S.J. and McClintock, F.A., "Analysis of Uncertainty in Single-Sample Experiments", *Mechanical Engineering*, Vol. 75, pp. 3-9, (1953).